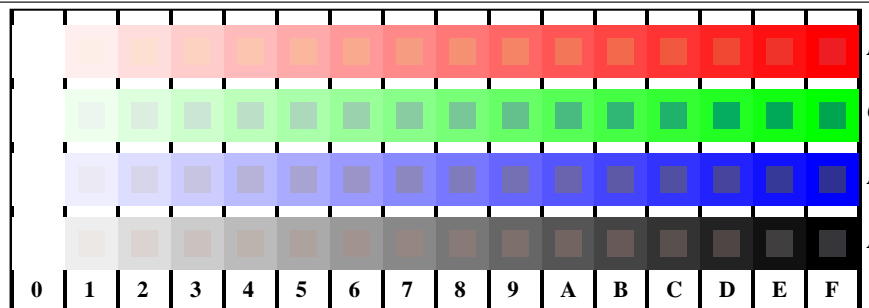
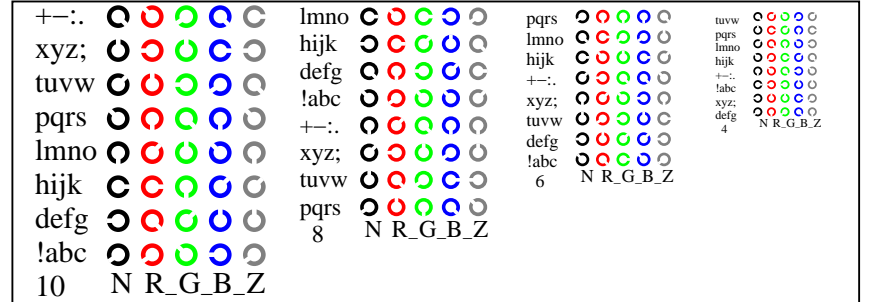


voir des fichiers similaires: <http://130.149.60.45/~farbmetrik/TF88/TF88L0FP.PDF> / .PS
informations techniques: <http://www.ps.bam.de> ou <http://130.149.60.45/~farbmetrik>

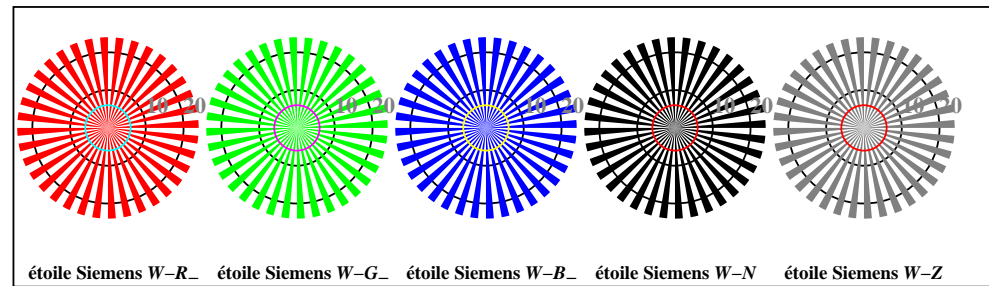
TUB enregistrement: 20150701 - TF88/TF88L0FP.PDF /.PS
application pour la mesure des sorties sur offset
TUB matériel: code=rh4ta



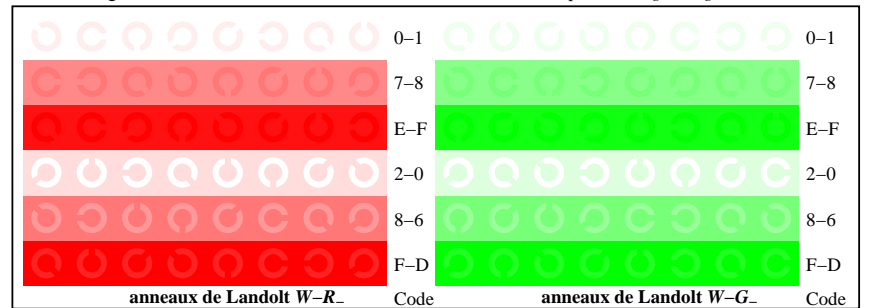
TF881-1, Fig. D4W-: 16 paliers équidistants W-R_; W-G_; W-B_; W-N; rgb/cmy0 set(rgb/cmyk)color



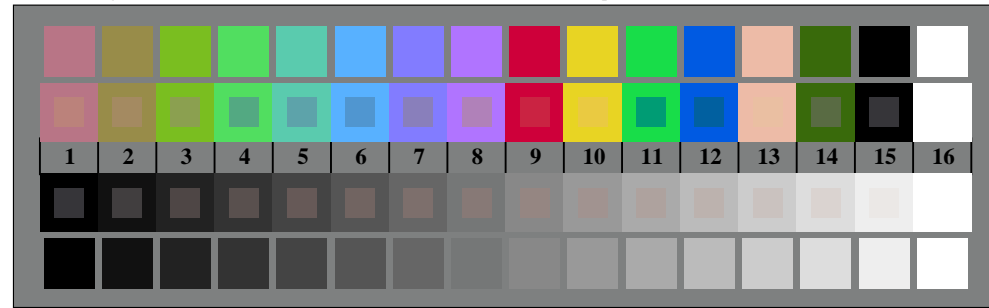
TF881-3, Fig. D5W-: code et anneau de Landolt N; R_; G_; B_; Z; PS opérateur: rgb setrgbcolor



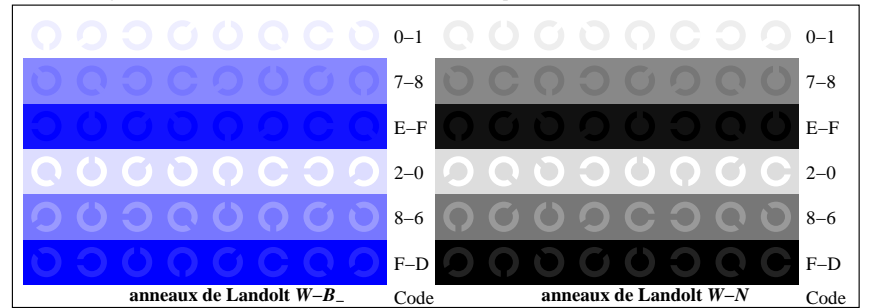
TF880-5, Fig. D2W-: étoile de Siemens W-R_; W-G_; W-B_; W-N; PS opérateur: rgb setrgbcolor



TF881-5, Fig. D6W-: anneaux de Landolt W-R_; W-G_; PS opérateur: rgb setrgbcolor

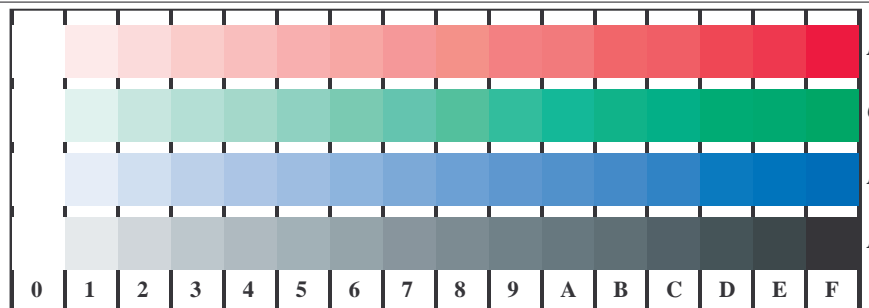
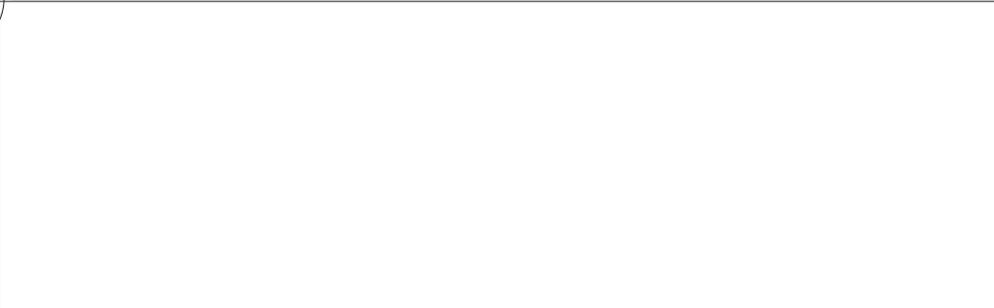


TF880-7, Fig. D3W-: 14 CIE test couleurs et 2 + 16 paliers de gris (sf); PS opérateur: rgb/cmy0 set(rgb/cmyk)color

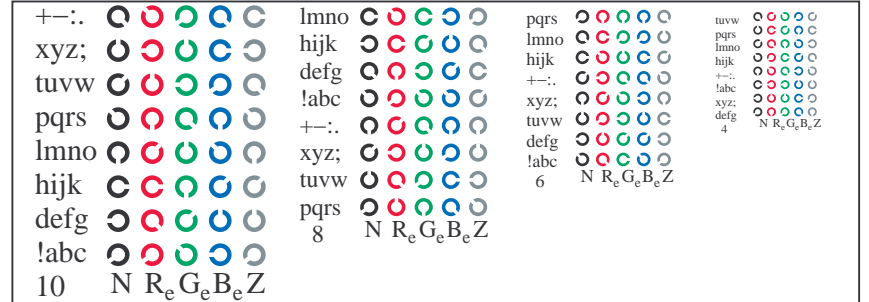


TF881-7, Fig. D7W-: anneaux de Landolt W-B_; W-N; PS opérateur: rgb setrgbcolor

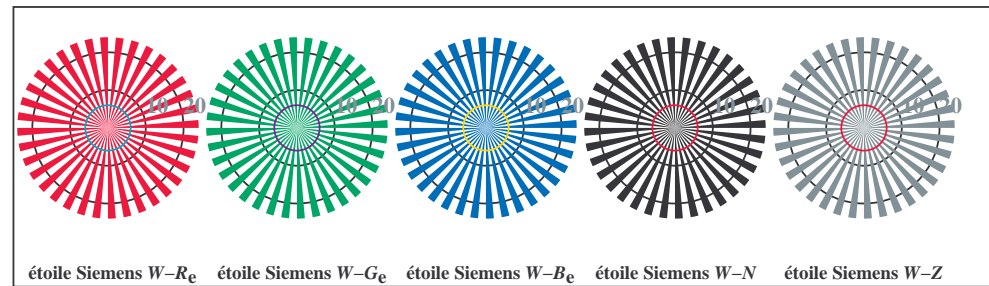
voir des fichiers similaires: <http://130.149.60.45/~farbmetrik/TF88/TF88L0FP.PDF> / .PS
informations techniques: <http://www.ps.bam.de> ou <http://130.149.60.45/~farbmetrik>



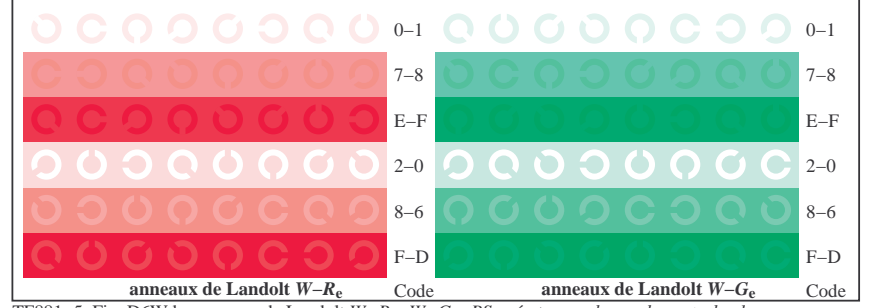
TF881-1, Fig. D4Wde: 16 paliers équidistants W-Re; W-Ge; W-Be; W-N; rgb/cmy0->rgbde setrgbcolor



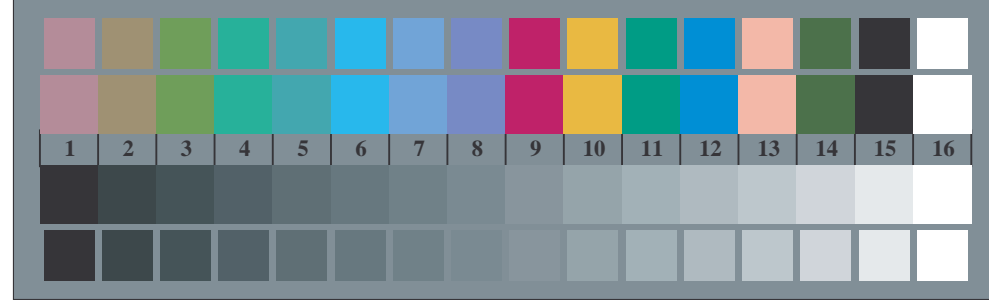
TF881-3, Fig. D5Wde: code et anneau de Landolt N; Re; Ge; Be; Z; PS opérateur: rgb->rgbde setrgbcolor



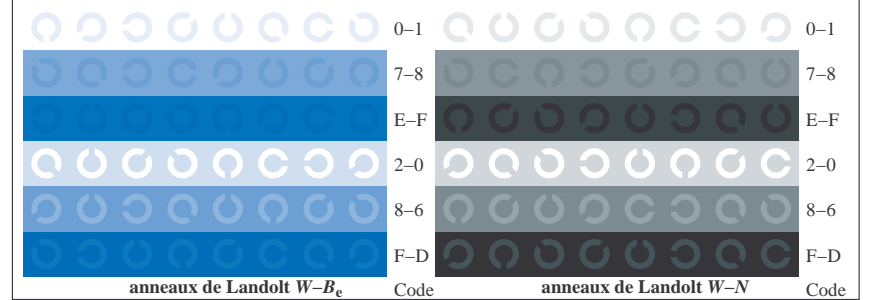
TF880-5, Fig. D2Wde: étoile de Siemens W-Re; W-Ge; W-Be; W-N; PS opérateur: rgb->rgbde setrgbcolor



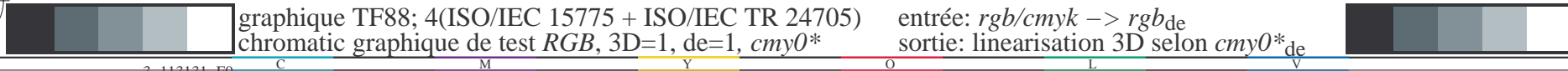
TF881-5, Fig. D6Wde: anneaux de Landolt W-Re; W-Ge; PS opérateur: rgb->rgbde setrgbcolor



TF880-7, Fig. D3Wde: 14 CIE test couleurs et 2 + 16 paliers de gris (sf); PS opérateur: rgb/cmy0->rgbde setrgbcolor



TF881-7, Fig. D7Wde: anneaux de Landolt W-Be; W-N; PS opérateur: rgb->rgbde setrgbcolor

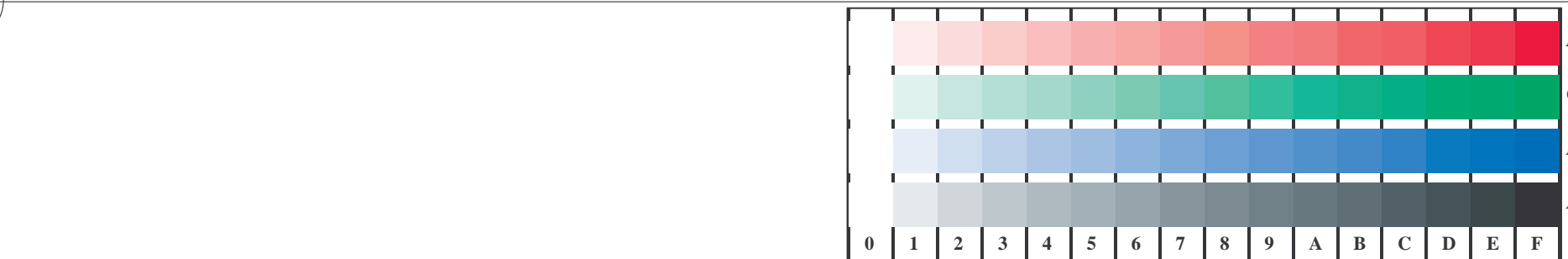


graphique TF88; 4(ISO/IEC 15775 + ISO/IEC TR 24705) entrée: rgb/cmyk -> rgbde
chromatic graphique de test RGB, 3D=1, de=1, cmy0* sortie: linearisation 3D selon cmy0*de

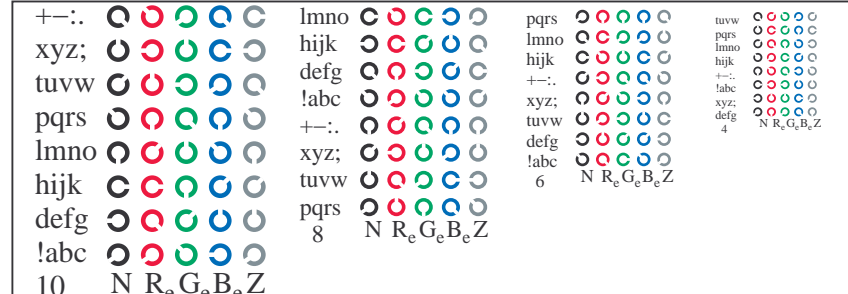
TUB enregistrement: 20150701-TF88/TF88L0FP.PDF / .PS TUB matériel: code=rh4ta
application pour la mesure des sorties sur offset, séparationcmy0* (CMY0)

voir des fichiers similaires: <http://130.149.60.45/~farbmetrik/TF88/TF88L0FP.PDF> / .PS
 informations techniques: <http://www.ps.bam.de> ou <http://130.149.60.45/~farbmetrik>

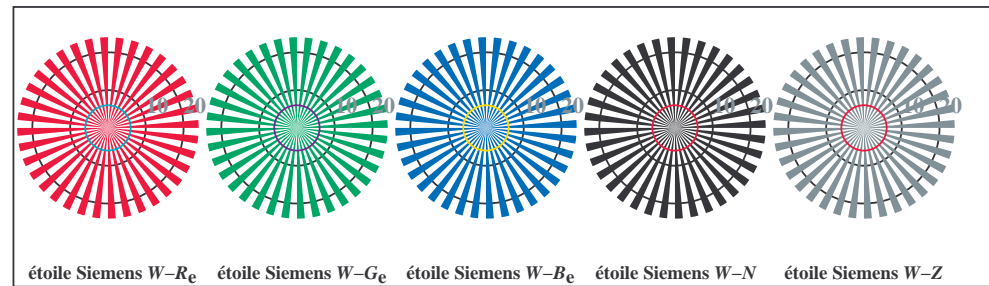
TUB enregistrement: 20150701-TF88/TF88L0FP.PDF / .PS TUB matériel: code=rh4ta
 application pour la mesure des sorties sur offset, séparation cmy0* (CMY0)



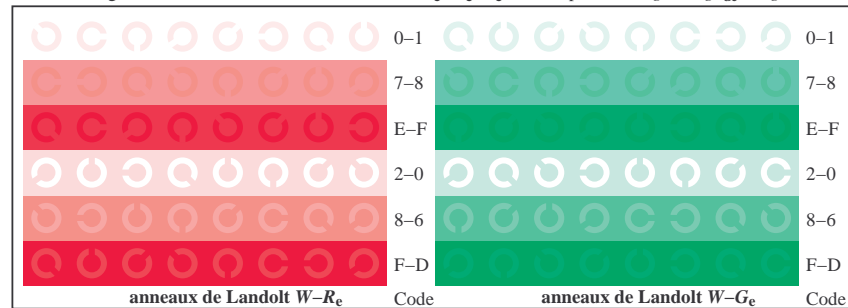
TF881-1, Fig. D4Wde: 16 paliers équidistants $W-R_e$; $W-G_e$; $W-B_e$; $W-N$; $rgb/cmy0 \rightarrow rgb_{de}$ setrgbcolor



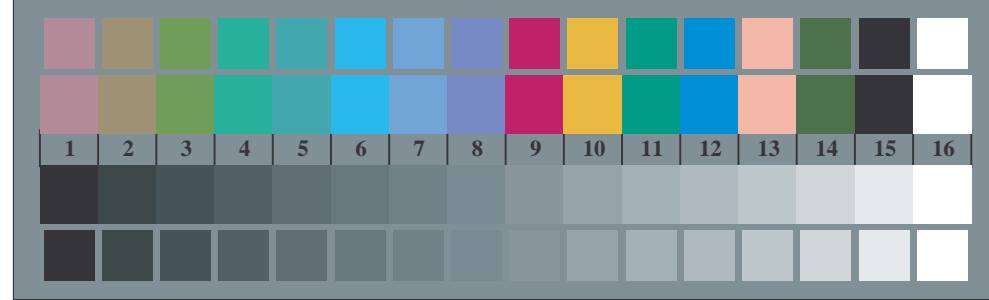
TF881-3, Fig. D5Wde: code et anneau de Landolt N ; R_e ; G_e ; B_e ; Z ; PS opérateur: $rgb \rightarrow rgb_{de}$ setrgbcolor



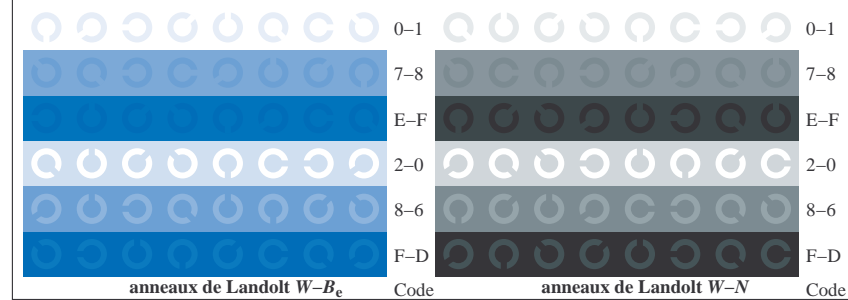
TF880-5, Fig. D2Wde: étoile de Siemens $W-R_e$; $W-G_e$; $W-B_e$; $W-N$; PS opérateur: $rgb \rightarrow rgb_{de}$ setrgbcolor



TF881-5, Fig. D6Wde: anneaux de Landolt $W-R_e$; $W-G_e$; PS opérateur: $rgb \rightarrow rgb_{de}$ setrgbcolor



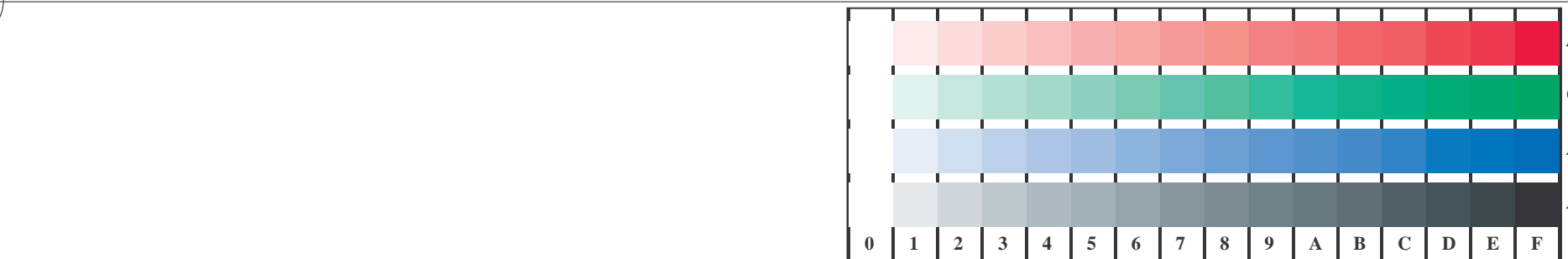
TF880-7, Fig. D3Wde: 14 CIE test couleurs et 2 + 16 paliers de gris (sf); PS opérateur: $rgb/cmy0 \rightarrow rgb_{de}$ setrgbcolor



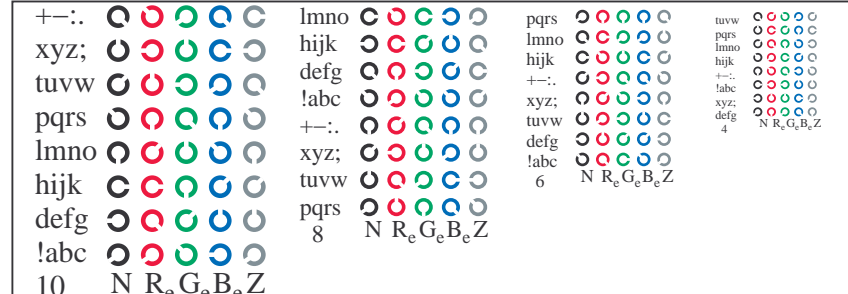
TF881-7, Fig. D7Wde: anneaux de Landolt $W-B_e$; $W-N$; PS opérateur: $rgb \rightarrow rgb_{de}$ setrgbcolor

voir des fichiers similaires: <http://130.149.60.45/~farbmetrik/TF88/TF88L0FP.PDF> / .PS
 informations techniques: <http://www.ps.bam.de> ou <http://130.149.60.45/~farbmetrik>

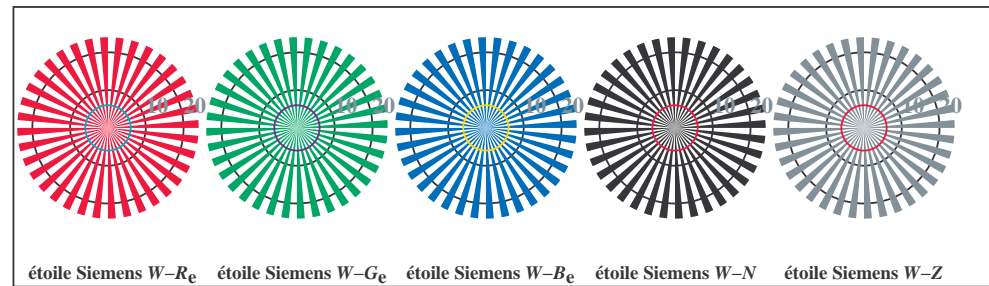
TUB enregistrement: 20150701-TF88/TF88L0FP.PDF / .PS TUB matériel: code=rh4ta
 application pour la mesure des sorties sur offset, séparation cmy0* (CMY0)



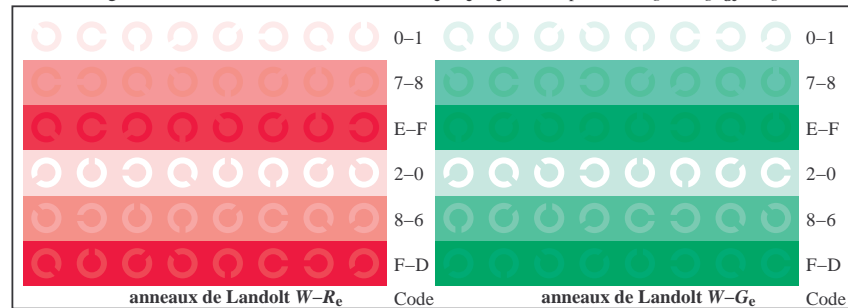
TF881-1, Fig. D4Wde: 16 paliers équidistants $W-R_e$; $W-G_e$; $W-B_e$; $W-N$; $rgb/cmy0 \rightarrow rgb_{de}$ setrgbcolor



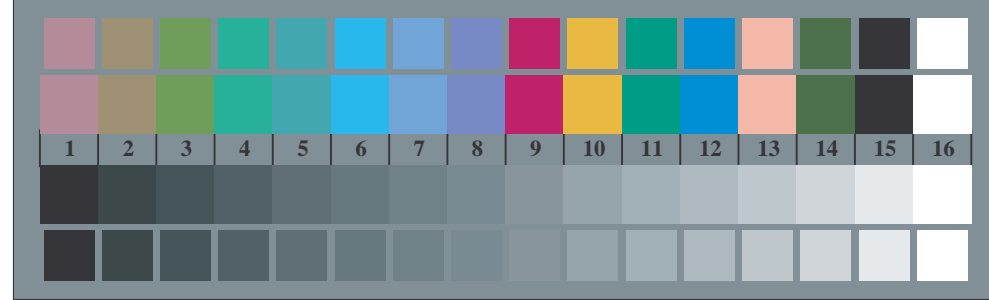
TF881-3, Fig. D5Wde: code et anneau de Landolt N ; R_e ; G_e ; B_e ; Z ; PS opérateur: $rgb \rightarrow rgb_{de}$ setrgbcolor



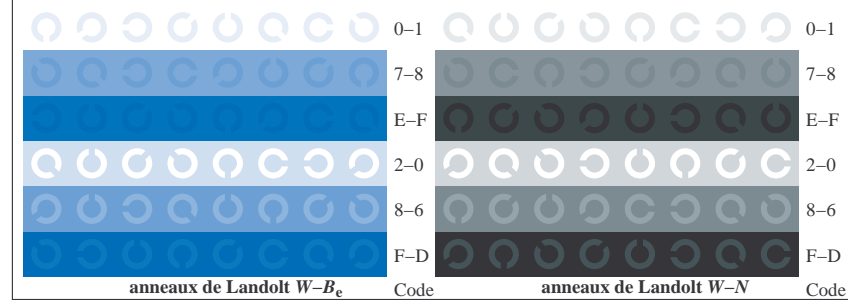
TF880-5, Fig. D2Wde: étoile de Siemens $W-R_e$; $W-G_e$; $W-B_e$; $W-N$; PS opérateur: $rgb \rightarrow rgb_{de}$ setrgbcolor



TF881-5, Fig. D6Wde: anneaux de Landolt $W-R_e$; $W-G_e$; PS opérateur: $rgb \rightarrow rgb_{de}$ setrgbcolor



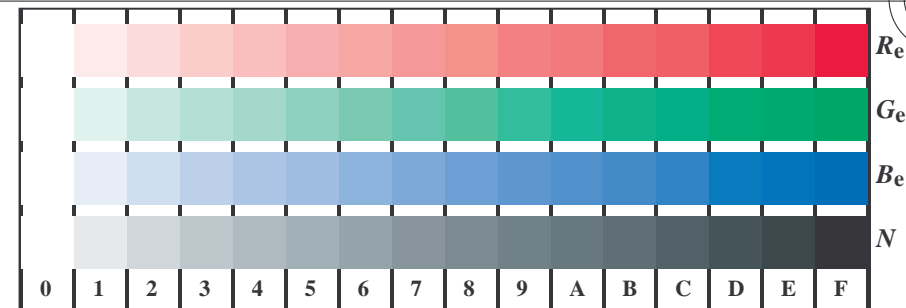
TF880-7, Fig. D3Wde: 14 CIE test couleurs et 2 + 16 paliers de gris (sf); PS opérateur: $rgb/cmy0 \rightarrow rgb_{de}$ setrgbcolor



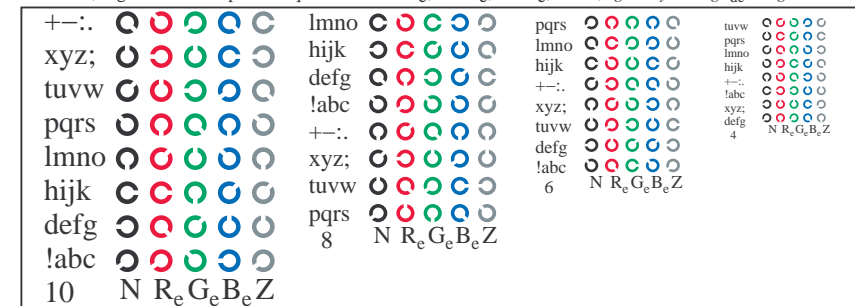
TF881-7, Fig. D7Wde: anneaux de Landolt $W-B_e$; $W-N$; PS opérateur: $rgb \rightarrow rgb_{de}$ setrgbcolor

voir des fichiers similaires: <http://130.149.60.45/~farbmetrik/TF88/TF88L0FP.PDF> / .PS
 informations techniques: <http://www.ps.bam.de> ou <http://130.149.60.45/~farbmetrik>

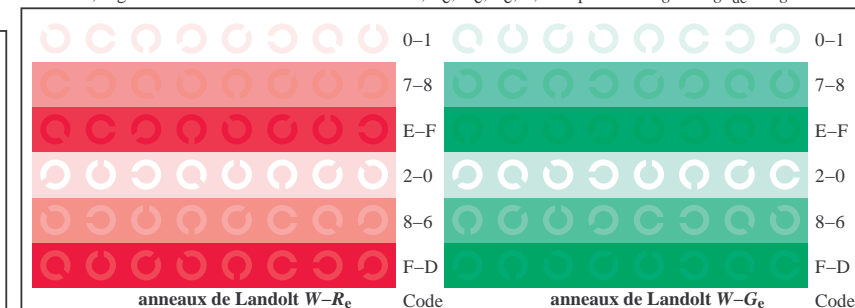
TUB enregistrement: 20150701-TF88/TF88L0FP.PDF / .PS TUB matériel: code=rh4ta
 application pour la mesure des sorties sur offset, séparation cmy0* (CMY0)



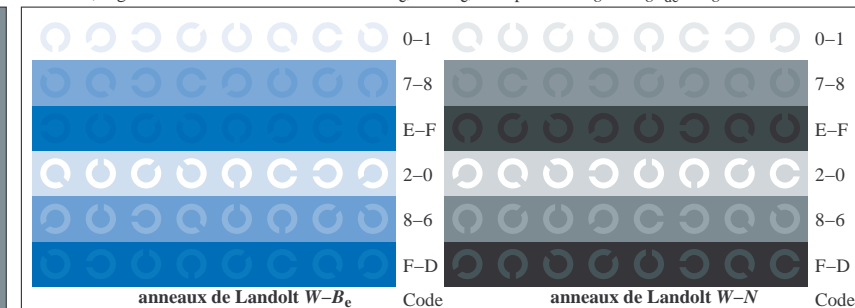
TF881-1, Fig. D4Wde: 16 paliers équidistants $W-R_e$; $W-G_e$; $W-B_e$; $W-N$; $rgb/cmy0 \rightarrow rgb_{de}$ setrgbcolor



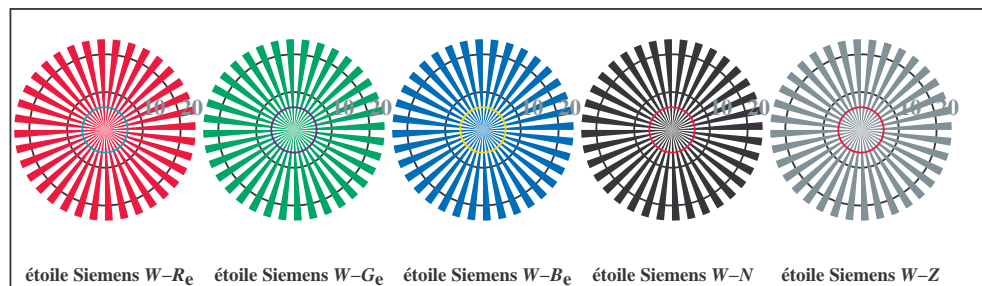
TF881-3, Fig. D5Wde: code et anneau de Landolt N ; R_e ; G_e ; B_e ; Z ; PS opérateur: $rgb \rightarrow rgb_{de}$ setrgbcolor



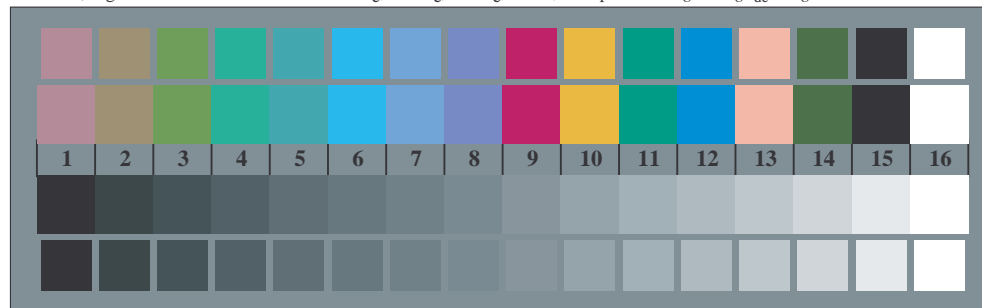
TF881-5, Fig. D6Wde: anneaux de Landolt $W-R_e$; $W-G_e$; PS opérateur: $rgb \rightarrow rgb_{de}$ setrgbcolor



TF881-7, Fig. D7Wde: anneaux de Landolt $W-B_e$; $W-N$; PS opérateur: $rgb \rightarrow rgb_{de}$ setrgbcolor



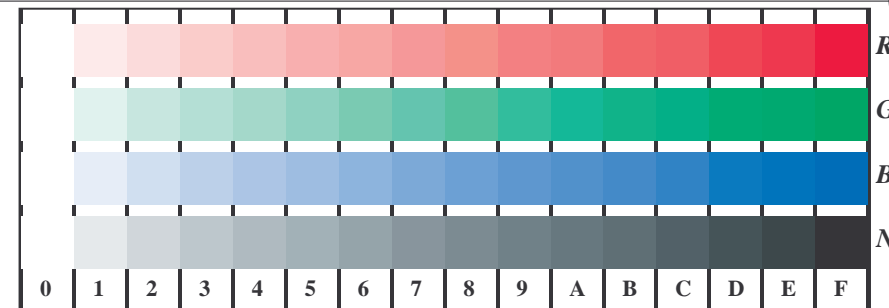
TF880-5, Fig. D2Wde: étoile de Siemens $W-R_e$; $W-G_e$; $W-B_e$; $W-N$; PS opérateur: $rgb \rightarrow rgb_{de}$ setrgbcolor



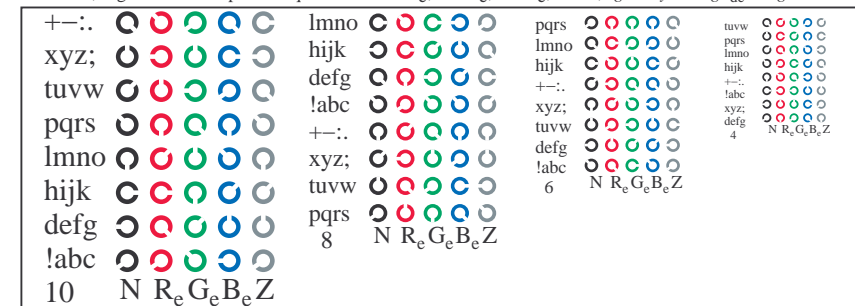
TF880-7, Fig. D3Wde: 14 CIE test couleurs et 2 + 16 paliers de gris (sf); PS opérateur: $rgb/cmy0 \rightarrow rgb_{de}$ setrgbcolor

voir des fichiers similaires: <http://130.149.60.45/~farbmetrik/TF88/TF88L0FP.PDF> / .PS
 informations techniques: <http://www.ps.bam.de> ou <http://130.149.60.45/~farbmetrik>

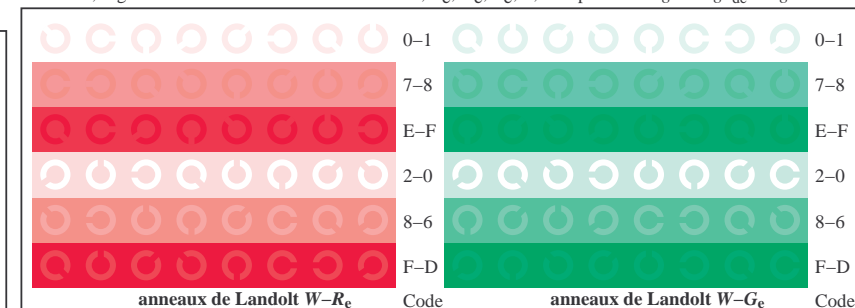
TUB enregistrement: 20150701-TF88/TF88L0FP.PDF / .PS TUB matériel: code=rh4ta
 application pour la mesure des sorties sur offset, séparation cmy0* (CMY0)



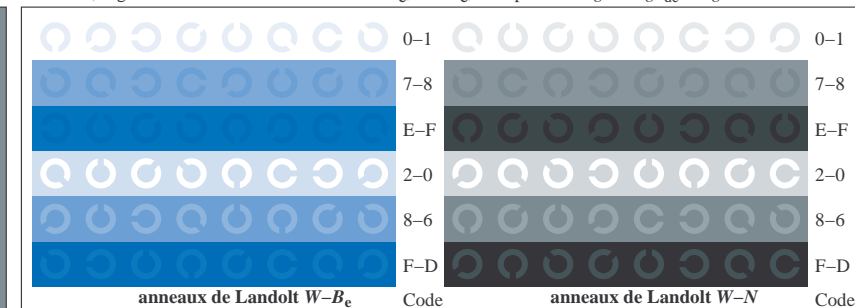
TF881-1, Fig. D4Wde: 16 paliers équidistants $W-R_e$; $W-G_e$; $W-B_e$; $W-N$; $rgb/cmy0 \rightarrow rgb_{de}$ setrgbcolor



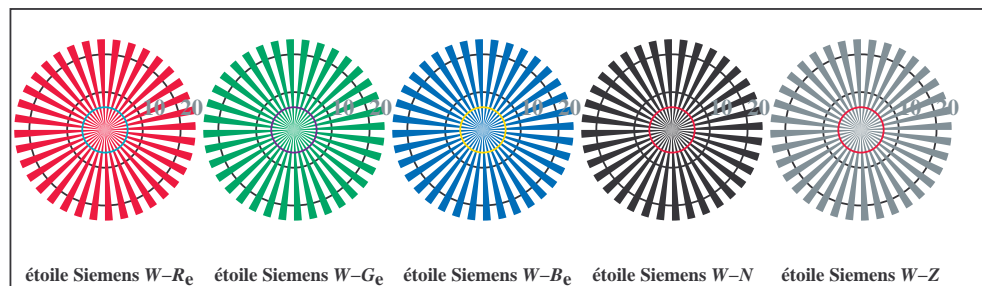
TF881-3, Fig. D5Wde: code et anneau de Landolt N ; R_e ; G_e ; B_e ; Z ; PS opérateur: $rgb \rightarrow rgb_{de}$ setrgbcolor



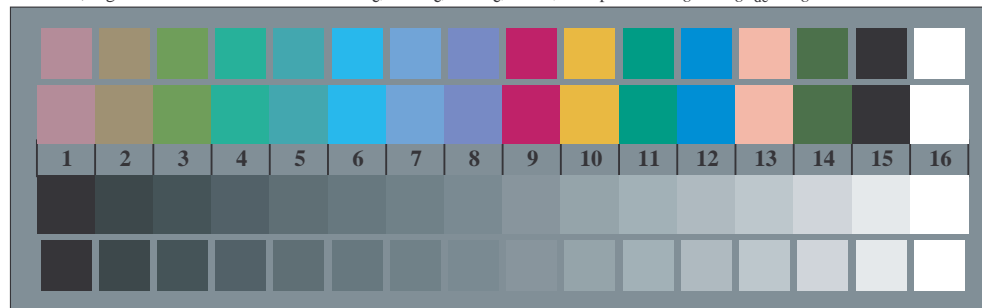
TF881-5, Fig. D6Wde: anneaux de Landolt $W-R_e$; $W-G_e$; PS opérateur: $rgb \rightarrow rgb_{de}$ setrgbcolor



TF881-7, Fig. D7Wde: anneaux de Landolt $W-B_e$; $W-N$; PS opérateur: $rgb \rightarrow rgb_{de}$ setrgbcolor



TF880-5, Fig. D2Wde: étoile de Siemens $W-R_e$; $W-G_e$; $W-B_e$; $W-N$; PS opérateur: $rgb \rightarrow rgb_{de}$ setrgbcolor



TF880-7, Fig. D3Wde: 14 CIE test couleurs et 2 + 16 paliers de gris (sf); PS opérateur: $rgb/cmy0 \rightarrow rgb_{de}$ setrgbcolor

http://130.149.60.45/~farbmetrik/TF88/TF88LOFP.PDF /.PS; linearisation 3D F: linearisation 3D TF88/TF88LF30FP.DAT dans fichier (F), page 7/22

Table with columns: nif, HHC*File, rgb*File, icr*File, hsa*File, rgb*File, LabC*File, LabC*File, cmyk*sep*File, cmyk*sep*File, rgb*File, hsa*File, LabC*File, LabC*File, delta. The table contains 360 rows of data for various color patches.

graphique TF88; 4(ISO/IEC 15775 + ISO/IEC TR 24705) couleurs et différences, ΔE*, 3D=L, de=L, cmy0* entrée: rgb/cmyk -> rrgbde sortie: linearisation 3D selon cmy0* de

TF880-7N, 7/22-F

3-113631-F0

3-113631-F0

http://130.149.60.45/~farbmetrik/TF88/TF88LOFP.PDF /PS; linearisation 3D F: linearisation 3D TF88/TF88LF30FP.DAT dans fichier (F), page 9/22

Table with 10 columns: n/F, H/C*F, r/gb, i/cr, i/s, r/gb, LabC/M*F, cmy0*sep, cmy0*sep, LabC/M*F, delta. Rows 0-80.

entrée: rgb/cmyk -> r/gb/de sortie: linearisation 3D selon cmy0*de

graphique TF88; 4(ISO/IEC 15775 + ISO/IEC TR 24705) couleurs et différences, ΔE*, 3D=L, de=L, cmy0*

TF880-7N, 9/22-F

3-113831-F0

http://130.149.60.45/~farbmetrik/TF88/TF88LOFP.PDF /PS; linearisation 3D
F: linearisation 3D TF88/TF88LF30FP.DAT dans fichier (F), page 10/22

Table with 16 columns: n, HHC*File, rpb_Rate, icr_File, Hsa_Rate, rpb*File, LabCM*File, cmyp*sep_Rate, Hsa*File, rpb*File, LabCM*File, delta, LabCM*File, Hsa*File, rpb*File, delta. Rows 81-161.

entrée: rgb/cmyk -> rgbd
sortie: linearisation 3D selon cmy0* de

TF88-7N; 1022-F

3-113931-F0

3-113931-F0

http://130.149.60.45/~farbmetrik/TF88/TF88LOFP.PDF /.PS; linearisation 3D F: linearisation 3D TF88/TF88LF30FP.DAT dans fichier (F), page 1/22

Table with 24 columns: n, HHC*File, rpb_Rate, icr_File, rpb_Rate, Hsa_Rate, rpb*File, LabCM*File, cmyp*sepRate, rpb*File, Hsa*File, LabCM*File, delta. Rows 162-242.

entrée: rgb/cmyk -> rrgbde sortie: linearisation 3D selon cmy0* de

graphique TF88; 4(ISO/IEC 15775 + ISO/IEC TR 24705) couleurs et différences, ΔE*, 3D=L, de=Y, cmy0*

TF880-7N, 11/22-F

3-1131031-F0

http://130.149.60.45/~farbmetrik/TF88/TF88LOFP.PDF /.PS; linearisation 3D F: linearisation 3D TF88/TF88LF30FP.DAT dans fichier (F), page 12/22

Table with 32 columns: n, HHC*File, rpb*File, icr*File, rpb*File, hsa*File, rpb*File, LabCM*File, cmy0*sep, cmy0*sep, rpb*File, hsa*File, LabCM*File, delta. Rows 243-323.

entrée: rgb/cmyk -> rrgbde sortie: linearisation 3D selon cmy0*de

graphique TF88; 4(ISO/IEC 15775 + ISO/IEC TR 24705) couleurs et différences, ΔE*, 3D=L, de=L, cmy0*

TF88-78N; 12.22-F

3-113113-10

http://130.149.60.45/~farbmetrik/TF88/TF88LOFP.PDF /.PS; linearisation 3D
 F: linearisation 3D TF88/TF88LF30FP.DAT dans fichier (F), page 13/22

n	HC*Fide	rgb*Rate	icr*Fide	hsa*Rate	rgb*Fide	LabCM*Fide	cmY0*sepRate	hsa*Fide	rgb*Fide	LabCM*Fide	delta
324	R0Y0_050_050	0.5	0.5	0.25	0.5	0.0	0.567	0.932	0.871	0.0	0.0
325	R0Y0_050_050	0.5	0.0	0.125	0.5	0.0	0.572	0.928	0.863	0.0	0.0
326	R0Y0_050_050	0.5	0.0	0.25	0.5	0.0	0.659	0.942	0.499	0.0	0.0
327	B0R1_050_050	0.5	0.0	0.375	0.5	0.0	0.315	0.959	0.486	0.0	0.0
328	B0R1_050_050	0.5	0.0	0.5	0.5	0.0	0.348	0.884	0.999	0.486	0.0
329	B0R2_062_062	0.5	0.0	0.625	0.5	0.0	0.188	0.888	0.376	0.0	0.0
330	B3R0_075_075	0.5	0.0	0.75	0.5	0.0	0.253	0.94	0.263	0.0	0.0
331	B3R0_087_087	0.5	0.0	0.875	0.5	0.0	0.131	0.893	0.131	0.0	0.0
332	B2R1_100_100	0.5	0.0	1.0	0.5	0.0	0.0	0.849	0.0	0.0	0.0
333	B2R1_100_100	0.5	0.125	0.125	0.5	0.0	0.564	0.784	0.677	0.0	0.0
334	R1Y1_050_037	0.5	0.125	0.25	0.5	0.0	0.339	0.558	0.507	0.0	0.0
335	R1Y1_050_037	0.5	0.125	0.375	0.5	0.0	0.388	0.631	0.448	0.0	0.0
336	B6R0_050_037	0.5	0.125	0.375	0.5	0.0	0.288	0.786	0.448	0.0	0.0
337	B6R0_050_037	0.5	0.125	0.5	0.5	0.0	0.277	0.792	0.331	0.0	0.0
338	B3R0_062_050	0.5	0.125	0.625	0.5	0.0	0.113	0.847	0.0	0.0	0.0
339	B3R0_075_062	0.5	0.125	0.75	0.5	0.0	0.086	0.756	0.124	0.0	0.0
340	B2R0_087_075	0.5	0.125	0.875	0.5	0.0	0.125	0.86	0.0	0.0	0.0
341	R2Y0_100_087	0.5	0.25	0.0	0.5	0.0	0.391	0.901	0.001	0.0	0.0
342	R2Y0_100_087	0.5	0.25	0.125	0.5	0.0	0.357	0.734	1.0	0.0	0.0
343	R3Y1_050_037	0.5	0.25	0.25	0.5	0.0	0.53	0.705	0.771	0.0	0.0
344	R0Y0_050_025	0.5	0.25	0.375	0.5	0.0	0.54	0.65	0.349	0.0	0.0
345	R0Y0_050_025	0.5	0.25	0.5	0.5	0.0	0.554	0.65	0.41	0.0	0.0
346	B3R0_062_025	0.5	0.25	0.625	0.5	0.0	0.324	0.652	0.39	0.0	0.0
347	B3R0_075_025	0.5	0.25	0.75	0.5	0.0	0.298	0.632	0.298	0.0	0.0
348	B3R0_087_025	0.5	0.25	0.875	0.5	0.0	0.172	0.598	0.203	0.0	0.0
349	B1R1_100_075	0.5	0.25	1.0	0.5	0.0	0.253	0.541	0.188	0.0	0.0
350	B1R1_100_075	0.5	0.25	0.125	0.5	0.0	0.289	0.72	0.045	0.0	0.0
351	B6Y0_050_037	0.5	0.375	0.0	0.5	0.0	0.544	0.599	0.0	0.0	0.0
352	B6Y0_050_037	0.5	0.375	0.125	0.5	0.0	0.575	0.797	0.0	0.0	0.0
353	R0Y0_050_012	0.5	0.375	0.25	0.5	0.0	0.553	0.553	0.62	0.0	0.0
354	R0Y0_050_012	0.5	0.375	0.375	0.5	0.0	0.531	0.509	0.45	0.0	0.0
355	B2R0_062_012	0.5	0.375	0.5	0.5	0.0	0.618	0.497	0.38	0.0	0.0
356	B2R0_062_012	0.5	0.375	0.625	0.5	0.0	0.281	0.64	0.487	0.291	0.0
357	B1R1_087_037	0.5	0.375	0.75	0.5	0.0	0.252	0.199	0.453	0.199	0.0
358	B1R1_087_037	0.5	0.375	0.875	0.5	0.0	0.421	0.103	0.421	0.103	0.0
359	B0R1_100_062	0.5	0.375	1.0	0.0	0.625	0.687	0.281	0.008	0.0	0.0
360	Y0G0_050_050	0.5	0.5	0.25	0.5	0.0	0.531	0.448	0.991	0.0	0.0
361	Y0G0_050_037	0.5	0.5	0.375	0.5	0.0	0.519	0.421	0.814	0.0	0.0
362	Y0G0_050_025	0.5	0.5	0.5	0.5	0.0	0.524	0.403	0.506	0.0	0.0
363	Y0G0_050_012	0.5	0.5	0.625	0.5	0.0	0.54	0.382	0.356	0.0	0.0
364	NW_050	0.5	0.5	0.75	0.5	0.0	0.54	0.353	0.327	0.0	0.0
365	B0R0_062_012	0.5	0.625	0.125	0.562	0.70	0.5	0.536	0.274	0.0	0.0
366	B0R0_075_025	0.5	0.625	0.25	0.625	0.70	0.5	0.531	0.187	0.0	0.0
367	B0R0_087_037	0.5	0.625	0.375	0.687	0.70	0.5	0.529	0.099	0.0	0.0
368	B0R0_100_050	0.5	0.625	0.5	0.75	0.70	0.5	0.521	0.0	0.0	0.0
369	Y1R0_062_050	0.5	0.625	0.625	0.812	1.0	0.424	0.322	0.996	0.0	0.0
370	Y2R0_062_050	0.5	0.625	0.75	0.875	1.0	0.427	0.275	0.832	0.0	0.0
371	Y3R0_062_050	0.5	0.625	0.875	0.937	1.0	0.455	0.225	0.675	0.0	0.0
372	Y0G0_062_025	0.5	0.625	0.375	0.625	0.25	0.5	0.565	0.322	0.832	0.0
373	G0B0_062_012	0.5	0.625	0.125	0.562	0.150	0.5	0.562	0.269	0.384	0.0
374	G0B0_062_012	0.5	0.625	0.25	0.562	0.210	0.5	0.546	0.284	0.296	0.0
375	G3B0_075_025	0.5	0.625	0.375	0.687	0.251	0.5	0.538	0.223	0.179	0.0
376	G4B0_087_037	0.5	0.625	0.5	0.75	0.25	0.5	0.538	0.188	0.094	0.0
377	G8B0_100_050	0.5	0.625	0.75	0.875	0.25	0.5	0.538	0.188	0.094	0.0
378	G3B0_075_050	0.5	0.75	0.0	0.5	0.25	0.5	0.538	0.188	0.094	0.0
379	G3B0_075_050	0.5	0.75	0.125	0.562	0.313	0.5	0.538	0.188	0.094	0.0
380	G3B0_075_050	0.5	0.75	0.25	0.562	0.375	0.5	0.538	0.188	0.094	0.0
381	G3B0_075_050	0.5	0.75	0.375	0.625	0.437	0.5	0.538	0.188	0.094	0.0
382	G3B0_075_050	0.5	0.75	0.5	0.625	0.5	0.5	0.538	0.188	0.094	0.0
383	G3B0_075_050	0.5	0.75	0.625	0.687	0.5	0.5	0.538	0.188	0.094	0.0
384	G5B0_087_025	0.5	0.75	0.25	0.625	0.210	0.5	0.538	0.188	0.094	0.0
385	G5B0_087_025	0.5	0.75	0.375	0.687	0.210	0.5	0.538	0.188	0.094	0.0
386	G7B0_100_050	0.5	0.75	0.5	0.75	0.210	0.5	0.538	0.188	0.094	0.0
387	Y4R0_087_050	0.5	0.875	0.0	0.875	0.437	1.15	0.327	0.923	1.0	0.0
388	Y4R0_087_050	0.5	0.875	0.125	0.875	0.5	1.20	0.366	0.875	1.125	0.0
389	Y6R0_087_050	0.5	0.875	0.25	0.875	0.562	1.27	0.405	0.875	1.25	0.0
390	Y6R0_087_050	0.5	0.875	0.375	0.937	0.625	1.36	0.429	0.875	1.375	0.0
391	G0B0_087_050	0.5	0.875	0.5	0.875	0.687	1.69	0.5	0.875	0.687	0.0
392	G1B0_087_050	0.5	0.875	0.625	0.812	1.0	1.91	0.5	0.875	0.812	0.0
393	G1B0_087_050	0.5	0.875	0.75	0.875	0.875	1.91	0.5	0.875	0.875	0.0
394	G5B0_087_050	0.5	0.875	0.875	0.937	0.687	2.20	0.5	0.875	0.937	0.0
395	Y5G0_100_050	0.5	1.0	0.0	0.5	0.75	2.24	0.5	1.0	0.75	0.0
396	Y5G0_100_050	0.5	1.0	0.125	0.5	0.875	2.24	0.5	1.0	0.875	0.0
397	Y5G0_100_050	0.5	1.0	0.25	0.5	1.0	2.24	0.5	1.0	1.0	0.0
398	Y8R0_100_075	0.5	1.0	0.25	1.0	0.75	2.24	0.5	1.0	0.75	0.0
399	Y8R0_100_075	0.5	1.0	0.375	1.0	0.625	2.24	0.5	1.0	0.625	0.0
400	G0B0_100_050	0.5	1.0	0.5	1.0	0.5	2.24	0.5	1.0	0.5	0.0
401	G1B0_100_050	0.5	1.0	0.625	1.0	0.5	2.24	0.5	1.0	0.625	0.0
402	G2B0_100_050	0.5	1.0	0.75	1.0	0.5	2.24	0.5	1.0	0.75	0.0
403	G3B0_100_050	0.5	1.0	0.875	1.0	0.5	2.24	0.5	1.0	0.875	0.0
404	G5B0_100_050	0.5	1.0	1.0	1.0	0.5	2.24	0.5	1.0	1.0	0.0

entrée: rgb/cmyk -> rgbd
 sortie: linearisation 3D selon cmy0* de

http://130.149.60.45/~farbmetrik/TF88/TF88LOFP.PDF /.PS; linearisation 3D F: linearisation 3D TF88/TF88LF30FP.DAT dans fichier (F), page 14/22

Table with 15 columns: n, HHC*File, rpb_Rate, icr_File, Hsa_Rate, rpb*File, LabCM*File, cmy0*SepRate, rpb*File, Hsa*File, LabCM*File, delta. Rows 405-485.

entrée: rgb/cmyk -> rrgbde sortie: linearisation 3D selon cmy0* de

TF88-7N-14.22-F

3-113131-F0

http://130.149.60.45/~farbmetrik/TF88/TF88LOFP.PDF /.PS; linearisation 3D F: linearisation 3D TF88/TF88LF30FP.DAT dans fichier (F), page 15/22

Table with 20 columns: n, HHC*Fide, rpb_Fide, icr_Fide, rpb_Fide, LabCM*Fide, cmyp*sep_Fide, rpb_Fide, rpb_Fide. Rows 486-566.

delta 0.006

entrée: rgb/cmyk -> rgbd sortie: linearisation 3D selon cmy0* de

graphique TF88; 4(ISO/IEC 15775 + ISO/IEC TR 24705) couleurs et différences, ΔE*, 3D=L, de=L, cmy0*

TF88-7N, 15/22-F

3-1131431-F0

http://130.149.60.45/~farbmetrik/TF88/TF88LOFP.PDF /.PS; linearisation 3D F: linearisation 3D TF88/TF88LF30FP.DAT dans fichier (F), page 19/22

Table with 15 columns: n, HHC*File, rpb*File, icr*File, hsa*File, rpb*File, LabCM*File, cmy0*sep*File, hsa*File, rpb*File, LabCM*File, delta, LabCM*File, rpb*File, hsa*File. Rows include file names like NV_1000de, BOOR_100_012de, etc.

entrée: rgb/cmyk -> rgbd sortie: linearisation 3D selon cmy0* de

graphique TF88; 4(ISO/IEC 15775 + ISO/IEC TR 24705) couleurs et différences, ΔE*, 3D=L, de=L, cmy0*

TF88-7N; 19/22-F

3-1131831-F0

http://130.149.60.45/~farbmetrik/TF88/TF88LOFP.PDF /.PS; linearisation 3D F: linearisation 3D TF88/TF88LF30FP.DAT dans fichier (F), page 21/22

Table with 15 columns: n, HC*File, rgb*File, icr*File, Ina*File, rgb*File, LabCM*File, cmyk*sep, cmyk*sep, rgb*File, Ina*File, rgb*File, LabCM*File, delta. Rows 972-1052.

entrée: rgb/cmyk -> rrgbde sortie: linearisation 3D selon cmy0* de

TF88-7N, 21.22-F

3-1132031-F0

